

Foto nº 9080.- Fallas normales en sedimentos de la Formación Alhambra.



Foto nº 9081.- Fallas normales en sedimentos de la Formación Alhambra.Al fonde, las Sierras de Alfacar y Víznar (Alpujárrides).



Foto nº 9082.- Cicatrices de deslizamiento en materiales de la Formación Alhambra.En segundo plano el Parque de invierno.



Foto nº 9083.- Idem a la anterior. Al fondo, Sierra de Alfacar.



Foto nº 9084.- Panorámica desde Víznar: a/-Travertinos holocenos. b/-Calcarenitas tortonienses.c/-Calizas liásicas de la ventana de Alfacar.d/-Dolomías alpujárrides.



Foto nº 9085.- Fuente Grande.Surgencia principal del acuífero dolomítico alpujárride.



Foto nº 9086.- Fractura normal en la ventana de Alfacar.



Foto nº 9087.- Derrubios de ladera de génesis crioclástica



Foto nº 9088.- Vista exterior de la Cueva del Agua.



Foto nº 9089.- Interior de la Cueva del Agua, modelada en dolomías alpujárrides



Foto nº 9090.- Travertinos holocenos en las inmediaciones de Nívar. Obsérvese la discordancia angular entre los tramos a y b.



Foto nº 9091.- Magnífico ejemplo de deslizamiento situado al oeste del Cerro del Castillo en las proximidades de Nívar. La cicatriz llega a alcanzar centenares de metros.En segundo término, el actual emplazamiento de Güevéjar.



Foto nº 9092.- Frente de uno de los deslizamientos en masa en los alrededores de Nívar.



Foto nº 9093.- Deslizamientos en masa de las calizas oolíticas del Cerro del Castillo.Nívar.



Foto nº 9094.- Cicatriz de deslizamiento en margocalizas con lignitos del Turoliense. A techo se observan sedimentos fluviales del pliocuaternario.



Foto nº 9095.- Aspecto general de los materiales fluviales del pliocuaternario.



Foto nº 9096.- Panorámica estereoscópica del borde nororiental de la hoja de Granada. a/-Glacis instaurado sobre pliocuaternario. b/-Sierra Arana(Subbético Interno). c/-Peñón de la Mata(Dorsal). d/-Valle del Rio Bermejo(Maláguide) y e/- Sierra de Alfacar (Alpujárride).



Foto nº 9097.- Panorámica del sector septentrional de la Hoja . Al fondo Sierra Elvira a la - izquierda y Sierra Parapanda a la dcha.



Foto nº 9098.- Materiales pliocuaternarios practicamente verticales en Cogollos-Vega.



Foto nº 9099.- Contacto entre el Subbético Interno (izda) y Dorsal (dcha).



Foto nº 9140.- Calizas nodulosas de matriz margoso fluidal . Malm Subbético Interno.



Foto nº 9141.- Contacto entre Dorsal (izda) y Malaguide (dcha) .



Foto nº 9142.- Peñon de la Mata, cota maxima de la Dorsal (1.663 m).



Foto nº 9143.- Superficie de colmatación de la Depresión de Granada en el borde septentrional de la Hoja.



Foto nº 9144.- Pizarras y calizas turbiditicas (Silurico- Pérmico Malaguide).



Foto nº 9145.- Conglomerados de la serie Silurico- Pérmico Malaguide



Foto nº 9147.- Marmoles y esquistos del Manto de Carbonales. (Complejo Alpujarride).



Foto nº 9148.- Esquistos del Manto de la Plata (Complejo Alpujárride)



Foto nº 9149.- Falla de borde que delimita los materiales de la Depresión de Granada en la -
Sierra de Viznar.

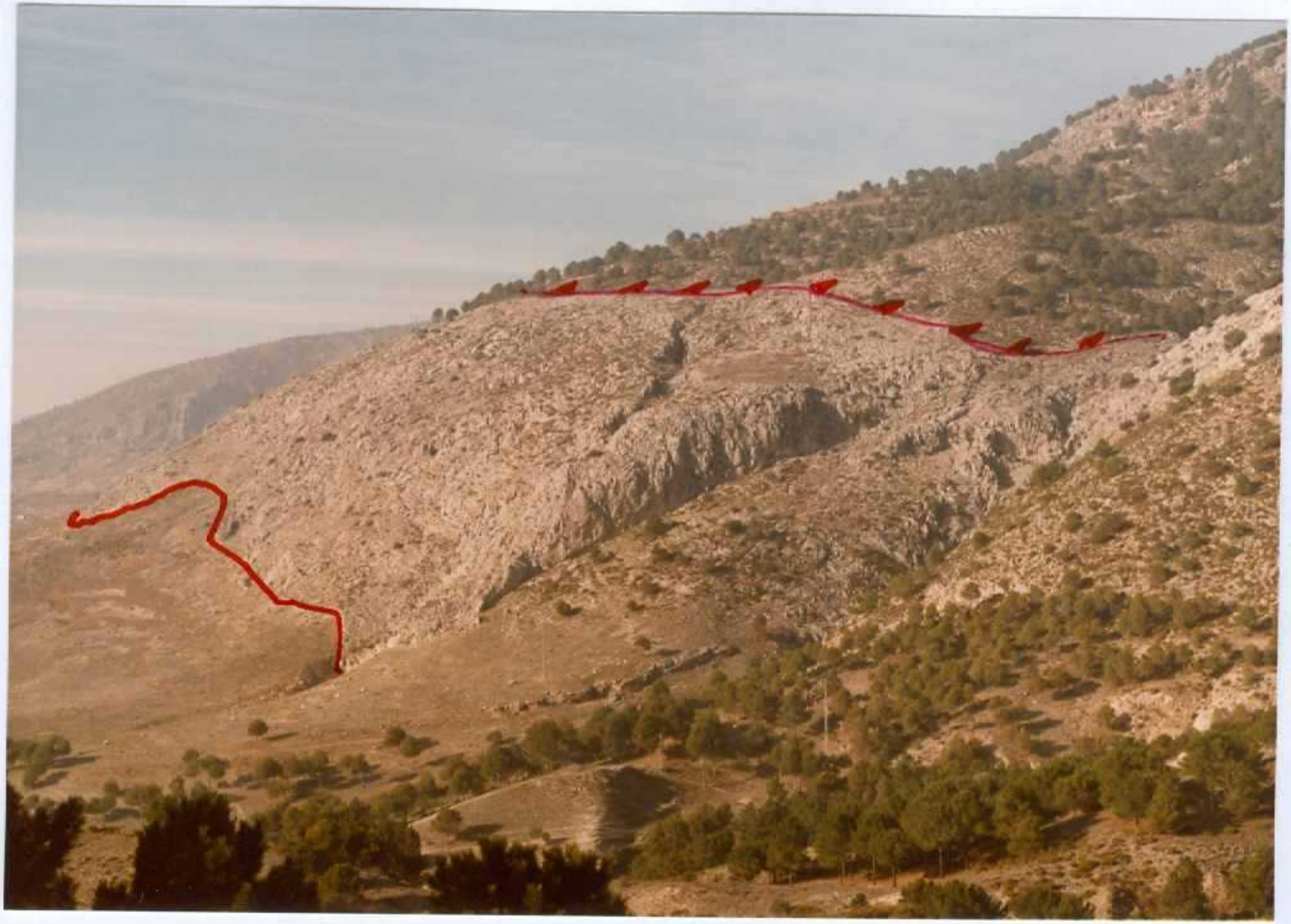


Foto nº 9150.- Detalle de la Ventana de Alfacar . Observese el cabalgamiento de las dolomias Alpujarrides sobre calizas dorsalianas y la falla de borde.



Foto nº 9151.- Panorámica de los distintos afloramientos de la ventana de Alfacar .



Foto nº 9152.- Vista panorámica de las canteras de Jun, que explotan los limos micaceos y arenas del Turoliense.



Fotos nºs. 9153 y 9154.- Panorámicas del arrecife coralino de la Estación de Illora.





Fotos nºs. 9155 y 9156.- Detalles de la estructura interna del arrecife coralino de la Estación de Illora.

